GEOLOGISCHE KARTE DER REPUBLIK ÖSTERREICH 1 : 50 000

Herausgegeben von der Geologischen Bundesanstalt, Wien 2003

122 KITZBÜHEL

Bearbeitet von H. HEINISCH (Grauwackenzone), G. PESTAL (Tauernfenster),
J. REITNER (Quartärgeologie) und V. STINGL (Nördliche Kalkalpen)

Blattbezeichnung im Bundesmeldenetz **3703**

91 Sankt Johann in Tirol

Quartär

- 1 Anthropogener Schutt, Deponie, Bergbauhalde
- 2 Auenablagerung (Schluff, Sand, Kies)
- 3 Ablagerung in Talsohlen und Talkerben (Schluff, Sand, Kies, Wildbachschutt)
- 4 Erosionskante, Geländekante
- 5 Schwemmfächer, Murenkegel
- 6 Niedermoor, Vernässung
- 7 Hochmoor
- 8 Sinterkalk (bei Enzing)
- 9 Hangschutt, Schuttkegel
- 10 Starker Geschiebeandrang von den Flanken
- 11 Grobblockwerk, Bergsturzblockwerk

Holozän

- 12 Abrisskante von Rutschmasse
- 13 Zerrspalte
- 14 Antithetischer Bruch durch Hangtektonik
- 15 Rutschmasse (überwiegend oberflächennah), Fließschutt
- 16 Rutschmasse (versackte Felspartie, z.T. im Verband, z.T. in Schollen und Blockwerk aufgelöst)
- 17 Terrassensediment (Kies, Sand; Spätglazial–Holozän)
- 18 Ehemaliger Abfluss, Trockental
- 19 Rundhöcker
- 20 Blockgletscherablagerung (grober Schutt), mit Wallform (Spätglazial)
- 21 Kame, Osschotter
- 22 Staukörper am Eisrand (Kies, Sand) mit Schlufflagen und Terrassensedimente im Raum Fieberbrunn
- 23 Moränenstreu vermischt mit Hangschutt
- 24 Moränenstreu
- 25 Verschwemmte Moräne
- 26 Erratischer Block (Zentralgneis)
- 27 Erratischer Block (Gabbro–Amphibolit; Hollersbachtal)
- 28 Moräne undifferenziert
- 29 End– bzw. Seitenmoräne, Moränenwall (Spätglazial)
- 30 Grundmoräne mit Drumlin
- 31 Sedimente der Vorstoßphase bei Fieberbrunn (Kies, Sand mit Schlufflagen; Würm)

Würm

- 32 Talfüllung (Kies, Sand,Schluff; Spätriss bis Würm) im Tal der Kitzbüheler und Jochberger Ache z.T. konglomeriert
- 33 Schluff mit Lignit darin (Lebenberg bei Kitzbühel; Frühwürm)
  Schluff mit Holz darin (Aurach; Riss/Würm Interglazial oder Frühwürm)
- 34 Grundmoräne (Kitzbühel; Riss)

Pleistozän

OBEROSTALPIN

Nördliche Kalkalpen

- 35 Steinalmkalk (Anisium)
- 36 Gutenstein–Formation (vorwiegend dünnbankiger, schwarzer Dolomit, dickbankiger Kalk und Dolomit; Anisium)
- 37 Reichenhall–Formation (Rauhwacke, untergeordnet Kalk und Dolomit; "Skyth"–Anisium)
- 38 Werfen–Formation (karbonatischer Sandstein, Mergel; oberstes "Skyth")
- 39 Oberer Alpiner Buntsandstein (heller Quarzsandstein, Mergel)
- 40 Unterer Alpiner Buntsandstein (roter Quarzsandstein, Subarkose)

"Skyth"

- 41 Gröden–Formation (rotes Konglomerat, Grobsandstein, Tonschiefer; Oberes Perm)
- 42 Basisbrekzie (Unteres Perm)

Grauwackenzone

Wildseeloder–Einheit

- 43 Tonschiefer im Verband mit Spielbergdolomit (Mittel–Devon – ?Ober–Devon)
- 44 Dolomit–Sandstein–Folge (Mittel–Devon – ?Ober–Devon)
- 45 Gebankter Dolomit
- 46 Massiger Dolomit
- 47 Roter Flaserdolomit, Flasermarmor mit violettem Tonschiefer (S Malernalm)

(Unter–Devon – Mittel–Devon) Spielbergdolomit–Gruppe

- 48 "Obersilurkalk"
- 49 Dolomit–Kieselschiefer–Komplex (Wechselfolge aus schwarzem, gebanktem Dolomit, Lydit, Schwarzschiefer und grauem Tonschiefer; Mittleres – Oberes Silur)
- 50 Lydit (Mittleres – Oberes Silur)
- 51 Kieseliger Dolomit der Lachtalgrundalm (hellgrauer, gebankter Dolomit mit Kieselknauern; Silur)
- 52 Brekzie und Konglomerat im Verband mit dem Blasseneck–Porphyroid (Ober–Ordovicium – ?Silur)
- 53 Blasseneck–Porphyroid (rhyolitischer Ignimbrit) und epiklastisches Porphyroidmaterial (Ober–Ordovicium)
- 54 Jausern–Formation (Siliziklastika im Verband mit dem Blasseneck–Porphyroid; dünnbankige Wechselfolge aus Ton–, Silt– und Sandstein mit Geröllpelit; Ordovicium)

Glemmtal–Einheit

- 55 Metabasalt, massig oder mit Pillowstruktur
- 56 Pyroxenit, Serpentinit
- 57 Gabbroides Ganggestein
- 58 Dioritisches Ganggestein
- 59 Metatuff (pyroklastischer Vulkanit)
- 60 Metatuffit (epiklastischer Vulkanit)
- 61 Karbonatischer Vulkanitschiefer
- 62 Metasomatisch umgewandelter Vulkanit oder Ganggestein (Ankerit–Chlorit–Kalzitschiefer)

Metabasite

- 63 Klingler–Kar–Formation (Kalkmarmor–Lydit–Wechselfolge, Kalkmarmor–Tonschiefer–Wechselfolge; Oberes Silur bis oberstes Unter–Devon)
- 64 Lydit (Silur – Devon)
- 65 Schwarzschiefer (Silur – Devon)
- 66 Kalkmarmor
- 67 Dolomitmarmor
- 68 Karbonatischer Schiefer
- 69 Kalkturbidit (karbonatische Bank innerhalb siliziklastischer Turbiditsequenz)
- 70 Grobkörniger, dickbankiger Sandstein, untergeordnet Silt– und Tonstein (proximale Fazies siliziklastischer Turbiditfolgen)
- 71 Mikrokonglomerat (Rinnensediment)
- 72 Brekzie, Megabrekzie oder Geröllpelit (Rinnensedimente)

Schattberg–Formation (Ober–Ordovicium – Devon, – ?Karbon)

- 73 Megabrekzie der Ehrenbachhöhe
- 74 Feinkörniger, dünnbankiger Sandstein, Silt– und Tonstein (distale Fazies siliziklastischer Turbiditfolgen)
- 75 Quarzit

Löhnersbach–Formation (Ober–Ordovicium – Devon)

- 76 Tonschiefer (Ober–Ordovicium – Devon)
- 77 Blasseneck–Porphyroid (rhyolitischer Ignimbrit) und epiklastisches Porphyroidmaterial (Ober–Ordovicium)
- 78 Weißer Filamentkalk, dunkler Crinoidenkalk (Viertalalm; Mittel–Ordovizium – Ober–Ordovicium)
- 79 Jausern–Formation (dünnbankige Wechselfolge aus Ton–, Silt– und Sandstein) im Verband mit der Löhnersbach–Formation (Reith bei Kitzbühel; Unter–Ordovicium)

Uttendorfer Schuppenzone
(Höher metamorphe und stärker deformierte Gesteine am Südrand der Grauwackenzone)

- 80 Metabasalt, massig oder mit Pillowstruktur
- 81 Gabbroides Ganggestein
- 82 Dioritisches Ganggestein
- 83 Metatuff
- 84 Metatuffit

Duktil deformierte Metabasite der Glemmtal–Einheit

- 85 Phyllit und dünnbankiger Quarzit
- 86 Phyllit
- 87 Schwarzphyllit
- 88 Kalkphyllit
- 89 Serizitquarzit
- 90 Granitgneis und Dioritgneis (z.T. Granat führend; Liebenberg–Straße)
- 91 Spessartin–Glimmerschiefer, oft mit Magnetit (Erlschlief–Alm); Biotit–Glimmerschiefer, Granat–Phyllonit (Liebenberg–Straße und Erlschlief–Alm)
- 92 Grünschiefer (Prasinit, Leuko–Epidotamphibolit, Chloritschiefer)
- 93 Chloritschiefer verbreitet Karbonat führend
- 94 Hornblendegabbro, Gabbroamphibolit (Liebenberg–Straße)
- 95 Kalkmarmor der Hartkaseralm (lithologisch der Klingler–Kar–Formation entsprechend)
- 96 Kalkmarmor vom Paß Thurn
- 97 Dolomitmarmor von Uttendorf und vom Paß Thurn
- 98 Porphyroidgneis

UNTEROSTALPIN

Innsbrucker Quarzphyllitzone

- 99 Quarzphyllit, quarzitischer Schiefer, Schwarzphyllit (z.T. hochdeformiert)
- 100 Serizitquarzit
- 101 Kalkschiefer
- 102 Grünschiefer

Zone der Steinkogelschiefer
(Höher metamorphe Gesteine des Wildkogels bei Bramberg)

- 103 Augengneis (Alkalifeldspat führender Granitgneis)
- 104 Glimmerschiefer (z.T. Granat führend)
- 105 Serizitquarzit

Zone von Mühlbach

- 106 Kalkphyllit, Kalkschiefer
- 107 Kalkmarmor
- 108 Schwarzphyllit, grauer Phyllit und graphitischer Glimmerschiefer
- 109 Serizitquarzit
- 110 Prasinit, Grünschiefer

TAUERNFENSTER

Venediger–Deckensystem
(Penninikum und tektonisch tiefere Komplexe)

- 111 Heller Quarzmarmor mit Phyllitflecken, untergeordnet lagenweise Einschaltungen von dunklem Phyllit
- 112 Heller und dunkler Kalkmarmor (z.T. mit feinklastischen Einschaltungen)
- 113 Hellgrauer bis bunter Serizitschiefer, z.T. phyllitisch, mit Einschaltungen von Kalkglimmerschiefer und dunklem Phyllit, Chloritoidschiefer, heller und dunkler Quarzit
- 114 Brekzie, Brekziendolomit darin
- 115 Kalkmarmor–, Dolomitmarmorschollen darin
- 116 Arkosegneisschollen darin
- 117 Dunkler Phyllit (z.T. mit klastischen Einschaltungen)

Bündnerschiefer–Gruppe

Habachzunge, Habachmulde,
Hülle des Zillertaler Kerns und Falkenbachlappen

- 118 Dolomitmarmor, Kalkmarmor, untergeordnet Rauhwacke (im Bereich Wenns – Vitlehen vorwiegend Kalkmarmor)
- 119 Dunkler Schiefer im Verband mit Dolomitmarmor und Kalkmarmor
- 120 Phengitquarzit, Serizitquarzit, Arkosegneis
- 121 Bunter Schiefer im Verband mit Serizitquarzit (z.T. mit Leukophyllit und Chloritoid)
- 122 Porphyroidgneis vom Sturmmannseck

Permotrias

- 123 Alkalifeldspat führender Gneis mit quarzitischen Bereichen
- 124 Aplitisch durchäderter Bereich
- 125 Augengneis (Alkalifeldspat führender Granitgneis)

Zentralgneis

- 126 Dunkler Phyllit
- 127 Graphitquarzit
- 128 Heller Phyllit, Serizitschiefer (Porphyrmaterialschiefer)
- 129 Albitgneis
- 130 Chlorit–Epidotgneis, Chloritschiefer
- 131 Prasinit, feinkörniger Amphibolit
- 132 Grobkörniger Amphibolit, grobkörniger Prasinit
- 133 Kalkmarmor (Vorderlachalm)
- 134 Serpentinit, untergeordnet Talkschiefer (Felbertal und Roßalm)
- 135 Metagabbro
- 136 Metaagglomerat
- 137 Dunkler Phyllit z.T. Talk und Karbonat führend

Habach–Gruppe (Altpaläozoikum)

Sturmmannseck–Schuppe
(Abgescherter Teil der Granatspitzhülle)

- 138 Amphibolit, Hornblende–Plagioklasgneis
- 139 Muskovitaugengneis

Zwölferzug–Gruppe (Altpaläozoikum)

Diverse Zeichen

- Störung (nachgewiesen, vermutet)
- Schuppengrenze (nachgewiesen, vermutet)
- Deckengrenze (nachgewiesen, vermutet)

Streichen und Fallen der Schieferung und der Schichtung

0–5° | –30° | –60° | –85° | –90°

Streichen und Fallen der Faltenachsen und der Lineationen

0–5° | –15° | –30° | –55° | –85°

- Bergbau, in Betrieb
- Bergbau, stillgelegt
- Mg Magnesit
- Fhl Fahlerz
- Cu Kupferkies
- Py Pyrit
- Fe Siderit
- Hm Hämatit
- Ba Baryt
- Pb Bleiglanz
- Ni Nickelerz
- Schaubergwerk (Jochberg)
- Urzeitlicher Kupfererzbergbau (Kelchalpe)
- Quelle, Quellgruppe
- Schwefelquelle
- Steinbruch
- Steingewinnung aus Hangschutt und Blockwerk
- Aufschlußbohrung
- Mehrteiliges Pleistozänprofil
- Palynologisches Profil

Fundstelle von

- Makrofossilien
- Conodonten
- Landpflanzen–Detritus
- Acritarchen

Erhältlich im Verlag der Geologischen Bundesanstalt, A–1031 Wien, Rasumofskygasse 23 und im Buchhandel.
© 2003 Geologische Bundesanstalt für den Datensatz und alle abgeleiteten Produkte.
Topographie Stand 1993; © BEV – 2002,
Vervielfältigt mit Genehmigung des BEV – Bundesamtes
für Eich– und Vermessungswesen in Wien, Zl. EB2002/00133.

1: 50 000 (1 cm≡500m)

500 0 1000 2000 3000 4000 5000 m

Gauß–Krüger–Projektion (3°–Streifen) Koordinatensystem M 31 des Bundesmeldenetzes
y–Wert im Gauß–Krüger–System = Rechtswert im BMN–System – 450
Geographische Länge von Ferro = Geographische Länge von Greenwich + 17°40'00"

Direktor der Geologischen Bundesanstalt: H.P. SCHÖNLAUB. – Leiter der geologischen Landesaufnahme: W. SCHNABEL.
Kartenredaktion: G.W. MANDL. – Leiter der ausführenden Fachabteilung Automatische Datenverarbeitung: U. STRAUSS; ADV–Bearbeitung: B. ATZENHOFER und W. STÖCKL. –
Leiter der ausführenden Fachabteilung für Kartographie und Reproduktion: S. LASCHENKO;
Bearbeitung: E.–K. KOSTAL – Druck: F. Dellerfuhs, Wien.

Verteilung der Aufnahmsgebiete

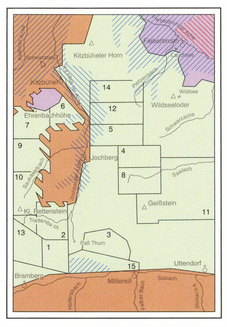

1	H. HEINISCH, 1984–1998 und J. AIGNER, 1989
2	M. B´SHARY, 1990
3	B. FRANKE, 1994–1995
4	K. HABERBOSCH, 1984
5	J. HAUCK, 1988
6	R. HIRSCHBERGER, 1995
7	P. ITZELSBERGER, 1994
8	P. KESSLER, 1984
9	B. MEISSNER, 1994
10	M. SCHÄTZ, 1994
11	P. SCHLAEGEL, 1984–1987
12	R.W. SPITZENBERGER, 1988
13	S. STOCK, 1989
14	B. WUNDERLICH, 1988
15	A. ZADOW, 1989–1992

W. JARITZ, 1996
G. PESTAL, 1989–1998
J. REITNER, 1995–1998 unter Verwendung von R. WALTL, 1989–1990
V. STINGL, 1984–1995

J. HELLERSCHMIDT – ALBER (Bergbaufolgelandschaften, Rohstoffpotentialbewertung mittlerer Pinzgau)
G. K. LIEB (Blockgletscherinventar)
A. SCHEDL (Bergbau– und Haldenkataster)
G. SCHUBERT (Quellerhebung)

Lage der Karte in Österreich

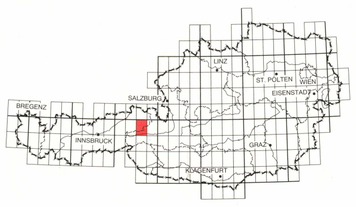

Tektonische Übersicht 1:400 000

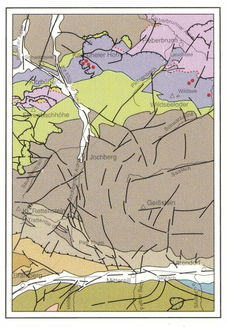

- Quartäre Talfüllung
- Tirolikum
- Basisbrekzie des Tirolikums auf der Grauwackenzone

Nördliche Kalkalpen

- Wildseeloder–Einheit
- Hochhörndler Schuppenzone
- Glemmtal–Einheit

Grauwackenzone

Oberostalpin

- Uttendorfer Schuppenzone

Schuppenzone zwischen Grauwackenzone und Innsbrucker Quarzphyllit

- Innsbrucker Quarzphyllitzone
- Zone der Steinkogelschiefer
- Zone von Mühlbach

Unterostalpin

- Bündnerschiefer
- Habachzunge
- Habachmulde, Hülle des Zillertaler Kerns und Falkenbachlappen
- Sturmmannseck–Schuppe

Venediger–Deckensystem

Tauernfenster

- Störung
- Schuppengrenze
- Deckengrenze